

# Экзаменационные вопросы по ЦОС

Корытов Павел, 6304

Лектор: Дмитрий Клионский

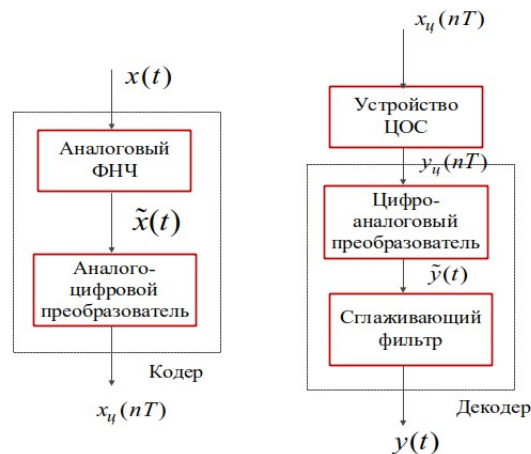
СПбГЭТУ «ЛЭТИ»

22 декабря 2019 г.

## СОДЕРЖАНИЕ

1	Обобщенная схема ЦОС . . . . .	2
2	Типовые последовательности ЦОС . . . . .	4
3	Линейные дискретные системы. Описание во временной области . . . . .	10
4	Линейные дискретные системы. Описание в $z$ -области . . . . .	12
5	Линейные дискретные системы. Описание в частотной области . . . . .	14
6	Основные характеристики ЛДС. Соотношение вход / выход. Устойчивость ЛДС	16
7	$z$ -преобразование и его свойства . . . . .	17
8	Структуры ЛДС . . . . .	19
9	Цифровые фильтры . . . . .	24
10	Синтез КИХ-фильтров методом окон . . . . .	25
11	Синтез КИХ-фильтров методом наилучшей равномерной (чебышевской) аппроксимации . . . . .	28
12	Синтез БИХ-фильтров . . . . .	30
13	Описание дискретных сигналов в $z$ -области . . . . .	32
14	Описание дискретных сигналов в частотной области . . . . .	33
15	Дискретное преобразование Фурье (ДПФ) . . . . .	35
16	Методы непараметрического спектрального анализа . . . . .	37
17	Методы параметрического спектрального анализа . . . . .	42
18	Адаптивные фильтры и их применения . . . . .	44

# 1. Обобщенная схема ЦОС



Исходная информация в обобщенной схеме ЦОС — **аналоговый сигнал** ( $x(t)$  или  $s(t)$ ), т.е. непрерывная функция времени.

1. Аналоговый сигнал подается на вход аналогового **ФНЧ (фильтр нижних частот)**. ФНЧ синтезируется одним из известных методов и выполняет роль ограничителя спектра сигнала. Это необходимо для дальнейшего применения **теоремы Котельникова**.

После пропускания через аналоговый ФНЧ меняется форма сигнала, сигнал становится **ограниченным по спектру**.

2. Переход от аналогового сигнала к **дискретному** (применение **процедуры дискретизации**)

## Теорема Котельникова

Любой сигнал с ограниченным спектром может быть без потерь информации представлен набором дискретных отсчётов, взятых через интервал  $T$ , удовлетворяющий условию:

$$T \leq \frac{1}{2f_{\text{в}}}; f_{\text{д}} \geq 2f_{\text{в}},$$

где:

- $T$  — период дискретизации сигнала,
- $f_{\text{в}}$  — верхняя граничная частота,
- $f_{\text{д}}$  — частота дискретизации сигнала.

После дискретизации сигнал **дискретный** — квантованный по времени, но аналоговый по уровню (состоянию). Отсчёты расположены через равноотстоящие промежутки — **период дискретизации**

3. Переход от дискретного сигнала к **цифровому**

**Аналогово-цифровой преобразователь (АЦП)** преобразует значения из аналоговых в цифровые. Дискретизация и квантование выполняются с помощью ПО.

**Квантование** сопровождается **ошибкой (шумом) квантования**

4. Обработка цифрового сигнала

**Система ЦОС** — выполняет преобразование сигнала в соответствии с решаемой задачей. На выходе сигнал **цифровой** — квантованный по времени и по состоянию.

5. Обратное преобразование от цифрового сигнала в аналоговый

**Цифро-аналоговый преобразователь (ЦАП)** — преобразует цифровой сигнал в ступенчатый аналоговый. Является ФНЧ с низкой степенью избирательности.

6. Устранение ступенчатого эффекта.

**Сглаживающий фильтр** — ФНЧ, устраняющий ступенчатый эффект.

## 2. Типовые последовательности ЦОС

### 2.1. Цифровой единичный импульс

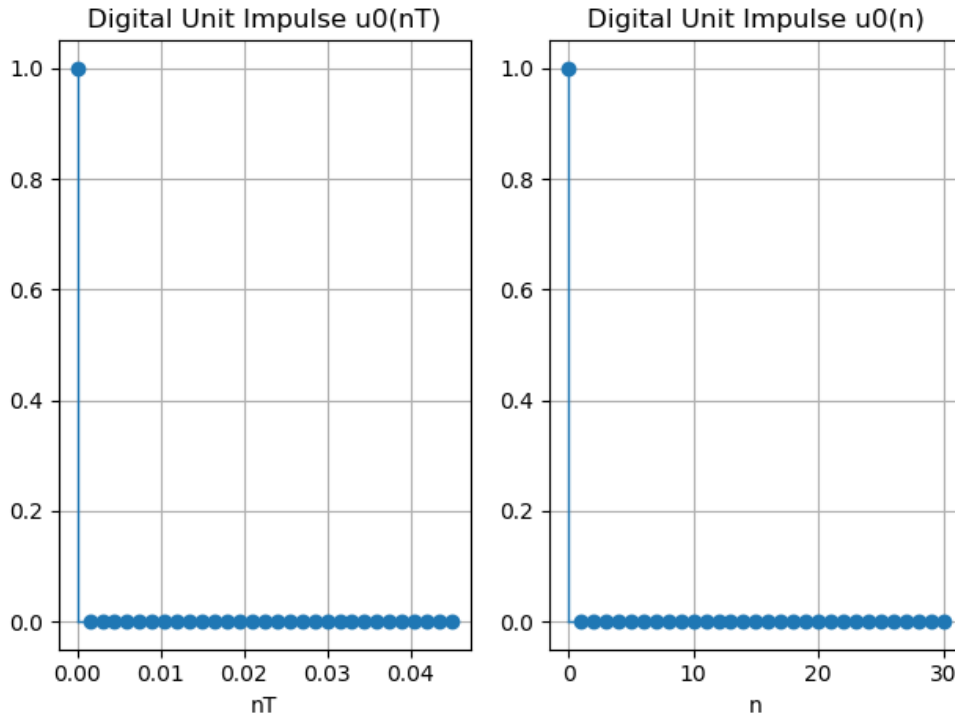


Рисунок 1 – Цифровой единичный импульс

$$u_0(nT) = \begin{cases} 1, & n = 0; \\ 0, & n \neq 0. \end{cases} \quad (2.1)$$

## 2.2. Цифровой единичный скачок

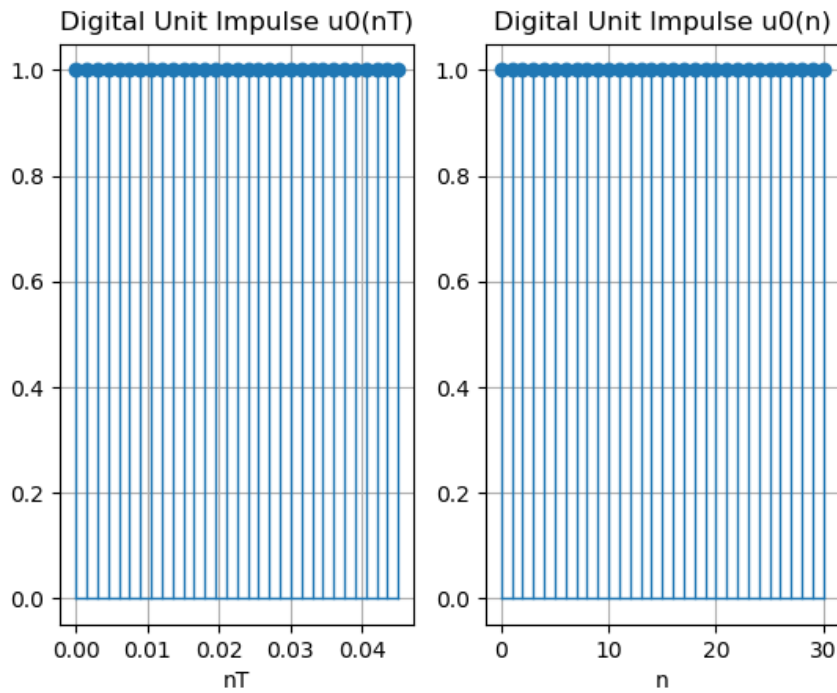


Рисунок 2 – Цифровой единичный скачок

**Цифровой единичный скачок** — результат дискретизации аналогового скачка.

$$u_1(nT) = \begin{cases} 1, & n \geq 0; \\ 0, & n < 0. \end{cases} \quad (2.2)$$

### 2.3. Дискретная экспонента

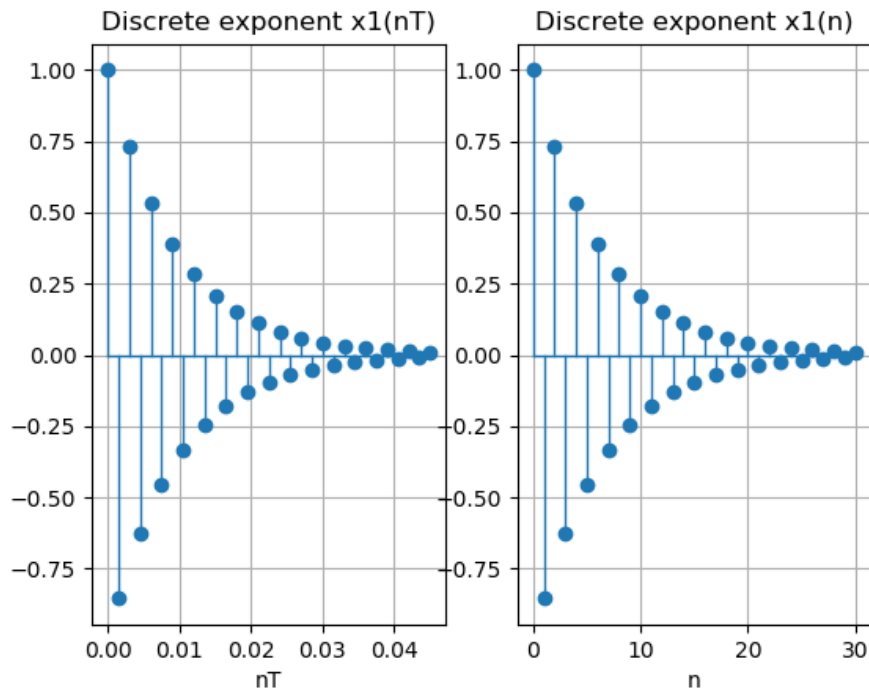


Рисунок 3 – Дискретная экспонента

**Дискретная экспонента** — результат дискретизации аналоговой экспоненты.

$$x_1(n) = \begin{cases} a^n, & n \geq 0 \\ 0, & n < 0, \end{cases} \quad (2.3)$$

где  $n$  — дискретное нормированное время. От  $a$  зависит, будет ли сменяться знак экспоненты.

## 2.4. Дискретный гармонический сигнал

$$x_2(n) = C \cos(\hat{\omega}_0 n), \quad (2.4)$$

где  $C$  — амплитуда сигнала,  $\hat{\omega}_0$  — частота сигнала

## 2.5. Дискретный комплексный гармонический сигнал

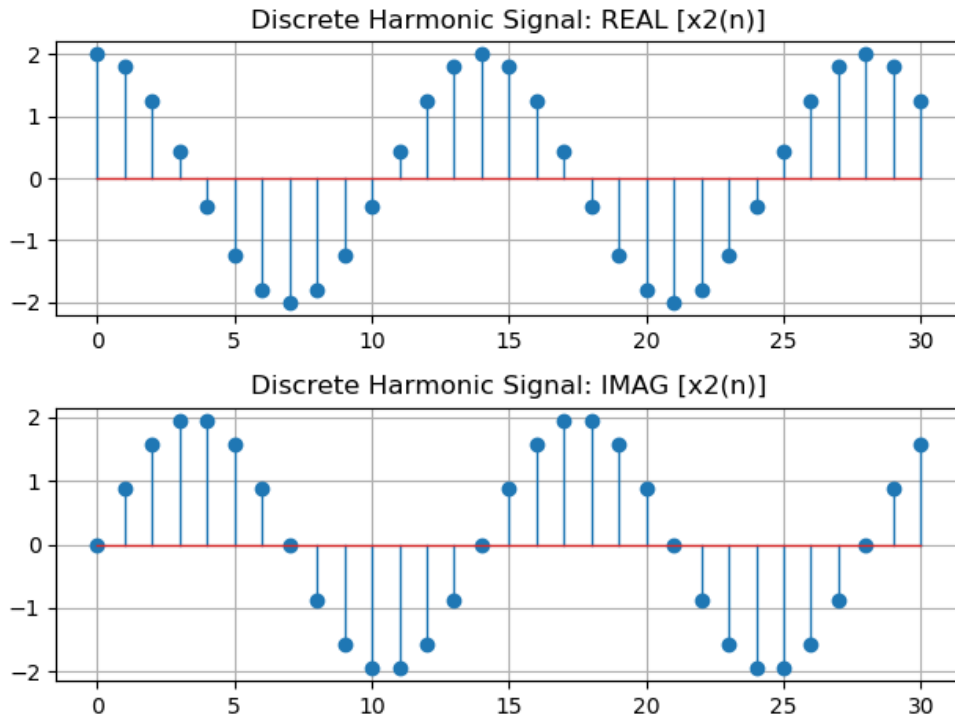


Рисунок 4 – Графики вещественной и комплексной частей гармонического сигнала

$$x_2(n) = Ce^{j\hat{\omega}_0 n} \quad (2.5)$$

## 2.6. Дискретный прямоугольный импульс

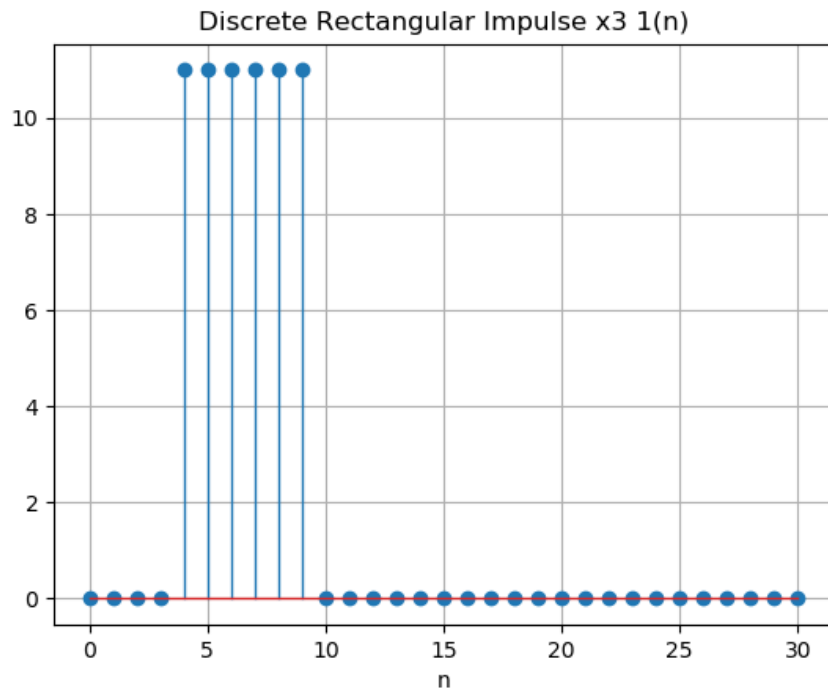


Рисунок 5 – График дискретного прямоугольного импульса

$$x_3(n) = \begin{cases} U, & n_0 \leq n \leq (n_0 + n_{\text{imp}} - 1); \\ 0, & \text{иначе,} \end{cases} \quad (2.6)$$

где  $U$  — амплитуда,  $n_0$  — момент начала,  $n_{\text{imp}}$  — длительность.



## 2.7. Дискретный треугольный импульс

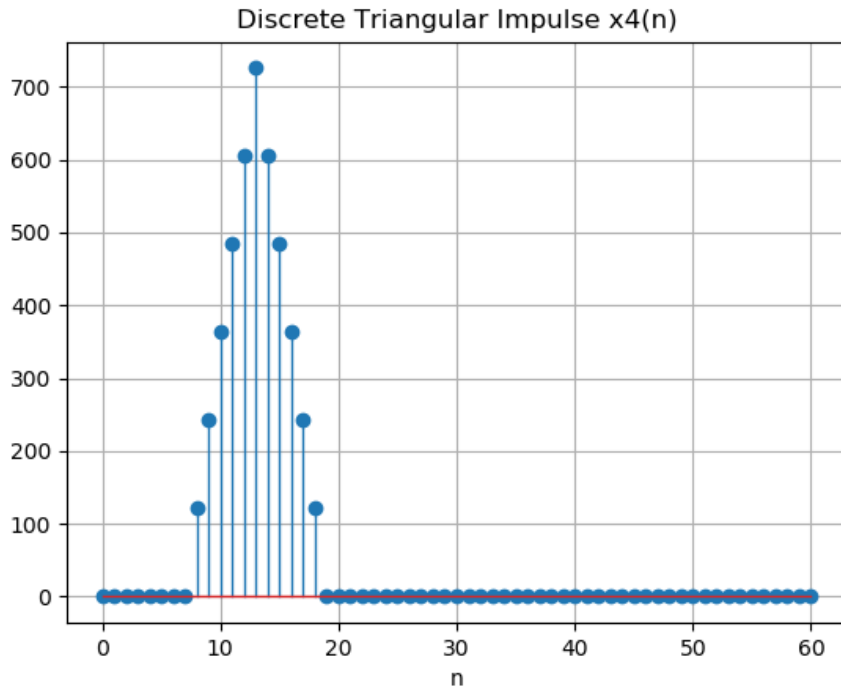


Рисунок 6 – График дискретного треугольного импульса

Можно получить сверткой дискретного прямоугольного импульса самим с собой на интервале  $L$ .

Аналитическая запись свертки:

$$x_4(t) = x_3(t) * x_3(t) = \sum_{\tau=0}^N x_3(\tau) x_3(t - \tau), \quad (2.7)$$

где  $x_3(\tau)$ :

$$x_3(\tau) = \begin{cases} U, & n_0 \leq \tau \leq (n_0 + n_{imp} - 1) \\ 0, & \text{иначе} \end{cases} \quad (2.8)$$

Длина свертки:  $L = 2N - 1$ .

### 3. Линейные дискретные системы. Описание во временной области

#### 3.1. Линейные дискретные системы

**Система обработки сигнала** — объект, выполняющий требуемое преобразование входного сигнала (**воздействия**) в выходной (**реакцию**).



Рисунок 7 – Схематичное изображение ЛДС

Система — **линейная**, если она отвечает условиям **аддитивности** и **однородности**.

**Аддитивность** — реакция на сумму воздействий равна сумме реакций на воздействия:

**Однородность** — воздействию, умноженному на весовой коэффициент, соответствует реакция, умноженная на тот коэффициент.

$$L\{a_1x_1(n) \pm a_2x_2(n) \pm \dots\} = a_1L\{x_1(n)\} \pm a_2L\{x_2(n)\} \pm \dots, \quad (3.1)$$

где:  $x_i(n)$  — воздействие,  $a_i$  — весовой коэффициент.

Система — **дискретная**, если она преобразует дискретное воздействие в дискретную реакцию.

Система — **стационарная**, если её реакция инвариантна по отношению к начала отсчёта времени. По умолчанию рассматриваем стационарные линейные дискретные системы (ЛДС).

#### 3.2. Описание ЛДС во временной области

Основная характеристика во временной области — **импульсная характеристика (ИХ)**,  $h(n)$  — реакция на цифровой единичный импульс  $u_0(n)$  при ННУ.

**Соотношение вход/выход** ЛДС — однозначно связано с ИХ, имеет вид линейной свертки:

$$y(nT) = \sum_{m=0}^{\infty} h[(n-m)T]x(mT) = \sum_{m=0}^{\infty} h(mT)x[(n-m)T], \quad (3.2)$$

$$y(n) = \sum_{m=0}^{\infty} h(n-m)x(m) = \sum_{m=0}^{\infty} h(m)x(n-m). \quad (3.3)$$

**Передаточная функция** — однозначно связана с соотношением вход/выход, имеет вид разностного уравнения (РУ):

$$y(n) = \underbrace{\sum_{i=0}^{N-1} b_i x(n-i)}_{\text{Нерекурсивная часть}} - \underbrace{\sum_{k=1}^{M-1} a_k y(n-k)}_{\text{Рекурсивная часть}}, \quad (3.4)$$

где:

- $b_i, a_k$  — вещественные константы (параметры ЛДС)
- $i, k$  — задержки воздействия, реакции
- $(N-1), (M-1)$  — константы (максимальные задержки)
- $x(n)$  — воздействие
- $y(n)$  — реакция

Вычисление реакции по формуле свертки или разностному уравнению осуществляется методов прямой подстановке при начальных нулевых условиях.

Типы ЛДС:

- **Рекурсивные** — реакция зависит от текущего и предшествующих отсчётов воздействия и предшествующих отсчётов реакции.

$$\exists k : a_k \neq 0.$$

Имеют бесконечную ИХ (**БИХ-ЛДС**).

- **Нерекурсивные** — реакция зависит только от текущего и предшествующих отсчётов воздействия и не зависит от отсчётов реакции.

$$\forall k : a_k = 0.$$

Имеют конечную ИХ (**КИХ-ЛДС**). ИХ КИХ-ЛДС совпадает с коэффициентами  $b_i$ :

$$h(n) = b_i, n = i$$

## 4. Линейные дискретные системы. Описание в $z$ -области

См. 3.1 (Линейные дискретные системы).

Основная характеристика — **передаточная функция** (ПФ) —  $z$ -изображение импульсной характеристики:

$$H(z) = \sum_{n=0}^{N-1} h(n)z^{-n} = \frac{Y(z)}{X(z)}, \quad (4.1)$$

где  $Y(z)$  —  $z$ -изображение реакции,  $X(z)$  —  $z$ -изображение воздействия.

Передаточная функция с использованием разностного уравнения:

$$H(z) = \frac{\sum_{i=0}^{N-1} b_i z^{-i}}{1 + \sum_{k=1}^{M-1} a_k z^{-k}}, \quad (4.2)$$

где:

- $z^{-i}, z^{-k}$  — задержки воздействия и реакции,
- $a_k$  — коэффициенты передаточной функции.

Для нерекурсивных ЛДС:

$$H(z) = \sum_{i=0}^{N-1} b_i z^{-i} = \sum_{n=0}^{N-1} h(n) z^{-n}. \quad (4.3)$$

**Порядок рекурсивной ЛДС** равен порядку знаменателя передаточной функции  $(M - 1)$  при условии  $(N - 1) \leq (M - 1)$ .

**Порядок нерекурсивной ЛДС** равен  $(N - 1)$ .

**Нули ПФ** — корни числителя, **Полюса (особые точки) ПФ** — корни знаменателя. **Карта нулей и полюсов** —  $z$ -плоскость с единичной окружностью, нулями и полюсами.

Нули и полюсы — попарно комплексно сопряженные числа.

Для **устойчивой ЛДС** полюса расположены внутри единичной окружности.

ПФ рекурсивных ЛДС может быть представлена следующими разновидностями:

- Произведение простейших множителей:

$$H(z) = b_0 \prod_{k=1}^{M-1} \frac{1 - z_{0k} z^{-1}}{1 - z_{*k} z^{-1}}, \quad (4.4)$$

где:

- $z_{0k}$  —  $k$ -й нуль,  $z_{*k}$  —  $k$ -й полюс.

- Произведение множителей второго порядка:

$$H(z) = \prod_{k=1}^L \frac{b_{0k} + \tilde{b}_{1k} z^{-1} + \tilde{b}_{2k} z^{-2}}{1 + a_{1k} z^{-1} + a_{2k} z^{-2}}, \quad (4.5)$$

где:

- $b_{0k}, \tilde{b}_{1k}, \tilde{b}_{2k}, a_{1k}, a_{2k}$  — вещественные коэффициенты рекурсивных звеньев 2-го порядка (биквадратов),
- $L$  — количество звеньев:

$$L = \text{int}\left(\frac{M-1}{2}\right). \quad (4.6)$$

- Сумма простых дробей:

$$H(z) = \sum_{k=1}^{M-1} H_k(z) = \sum_{k=1}^{M-1} \frac{A_k}{1 - z_{*k} z^{-1}}, \quad (4.7)$$

где:

- $z_{*k}$  — простой (некратный) полюс,
- $A_k$  — коэффициент разложения при полюсе.

## 5. Линейные дискретные системы. Описание в частотной области

См. 3.1 (Линейные дискретные системы). Основная характеристика — **комплексная частотная характеристика** — Фурье-изображение ИХ:

$$H(e^{j\hat{\omega}}) = \sum_{n=0}^{\infty} h(n)e^{-j\hat{\omega}n}, \quad (5.1)$$

где  $\hat{\omega}$  — нормированная частота (рад):

$$\hat{\omega} = \omega T. \quad (5.2)$$

Связь ИХ и ПФ:

$$H(e^{j\hat{\omega}}) = H(z) \Big|_{z=e^{j\hat{\omega}}} = \frac{\sum_{i=0}^{N-1} b_i e^{-ji\hat{\omega}}}{1 + \sum_{k=1}^{M-1} a_k e^{-jk\hat{\omega}}}, \quad (5.3)$$

где:

- $b_i$  — параметры нерекурсивной части ЛДС,
- $a_i$  — параметры рекурсивной части ЛДС.

В показательной форме:

$$H(e^{j\hat{\omega}}) = |H(e^{j\hat{\omega}})| e^{j \cdot \arg\{H(e^{j\hat{\omega}})\}} = A(\hat{\omega}) e^{j\varphi(\hat{\omega})}, \quad (5.4)$$

где  $A(\hat{\omega})$  — АЧХ,  $\varphi(\hat{\omega})$  — ФЧХ.

**Амлитудно-частотная характеристика (АЧХ)** — частотная зависимость отношения амплитуды реакции к амплитуде гармонического воздействия в установившемся режиме.

**Фазочастотная характеристика (ФЧХ)** — частотная зависимость разности фаз реакции и гармонического воздействия в установившемся режиме.

Свойства АЧХ и ФЧХ:

- АЧХ и ФЧХ — периодические функции;
- АЧХ — четная функция частоты, ФЧХ — нечетная;
- АЧХ и ФЧХ рассчитываются в основной полосе частот для систем с вещественными параметрами;
- по карте нулей и полюсов можно определить местоположение минимумов, максимумов и нулей АЧХ в основной полосе частот;
- Частота комплексно сопряженного полюса соответствует частоте максимума АЧХ (приблизительно);
- Частота комплексно сопряженного нуля соответствует частоте минимума АЧХ (приблизительно), если радиус-вектор полюса меньше 1, и нуля АЧХ, если радиус-вектор равен 1. В точке нуля АЧХ наблюдается скачок на  $\pi$ ;
- Вещественным нулям соответствует нуль АЧХ на границе основной полосы частот 0 и/или  $\pi$ .

## 6. Основные характеристики ЛДС. Соотношение вход / выход. Устойчивость ЛДС

- Во временной области — импульсная характеристика, соотношение вход/выход (см. 3.2, 3.3)
- В  $z$ -области — передаточная функция (см. 4.1)
- В частотной области — комплексная частотная характеристика (см. 5.1)

ЛДС называется **устойчивой**, если её реакция на любое ограниченное воздействие является ограниченной.

Критерии устойчивости:

- Критерий во временной области
  - ЛДС устойчива, если ряд отсчётов импульсной характеристики является абсолютно сходящимся
  - КИХ-фильтры устойчивы по определению
  - БИХ-фильтры требуют проверки на устойчивость

- Критерий в  $z$ -области

ЛДС устойчива, если все полюса располагаются внутри единичного круга. Граница круга соответствует **границе устойчивости**.

Чем дальше полюс от границы круга, тем больше **запас устойчивости**.

В неустойчивой системе возможны **самовозбуждения**.



## 7. $z$ -преобразование и его свойства

### 7.1. $z$ -преобразование и преобразование Лапласа

$z$ -преобразование связано с преобразованием Лапласа:

$$X(p) = \int_0^{\infty} x(t)e^{-pt}dt, \quad (7.1)$$

где:

- $x(t)$  — непрерывная функция времени (оригинал),
- $X(p)$  — изображение
- $p = \sigma + j\omega$  — оператор Лапласа.

Преобразование Лапласа справедливо в области абсолютной сходимости несобственного интеграла.

**Дискретное преобразование Лапласа:**

$$t \rightarrow nT, \quad (7.2)$$

$$X(e^{pt}) = \sum_{n=0}^{\infty} x(nT)e^{-pnt}. \quad (7.3)$$

**$z$ -преобразование:**

$$z = e^{pt}, \quad (7.4)$$

$$X(z) = \sum_{n=0}^{\infty} x(nT)z^{-n}, \quad (7.5)$$

где:

- $x(nT)$  — функция дискретного времени,
- $X(z)$  —  $z$ -изображение  $x(nT)$ .

$z$ -преобразование справедливо в области абсолютной сходимости ряда

$$\sum_{n=0}^{\infty} |x(nT)z^{-n}| < \infty. \quad (7.6)$$

## 7.2. Свойства $z$ -преобразования

### 1. Линейность

$$\begin{aligned}x(n) &= a_1x_1(n) + a_2x_2(n) + \dots \\X(z) &= a_1X_1(z) + a_2X_2(z) + \dots\end{aligned}\tag{7.7}$$

### 2. Теорема о задержке

$$\begin{aligned}x(n) &\leftrightarrow X(z), \\x(n-m) &\leftrightarrow X(z)z^{-m}.\end{aligned}\tag{7.8}$$

### 3. Теорема о свертке

$$x(n) = \sum_{m=0}^{\infty} x_1(m)x_2(n-m) \leftrightarrow X(z) = X_1(z)X_2(z).\tag{7.9}$$

## 8. Структуры ЛДС

**Структура** отображает алгоритм определения реакции по РУ (см. 3.4) и определяется видом передаточной функции.

Для рекурсивных звеньев 2-го порядка с передаточной функцией:

$$H(z) = \frac{b_0 + b_1 z^{-1} + b_2 z^{-2}}{1 + a_1 z^{-1} + a_2 z^{-2}}, \quad (8.1)$$

где  $b_0, b_1, b_2$  — нерекурсивная часть,  $a_1, a_2$  — рекурсивная часть, и разностным уравнением

$$y(n) = b_0 x(n) + b_1 x(n-1) + b_2 x(n-2) - a_1 y(n-1) - a_2 y(n-2) \quad (8.2)$$

поддерживаются далее перечисленные структуры.

### 8.1. Прямая структура (Direct Form I)

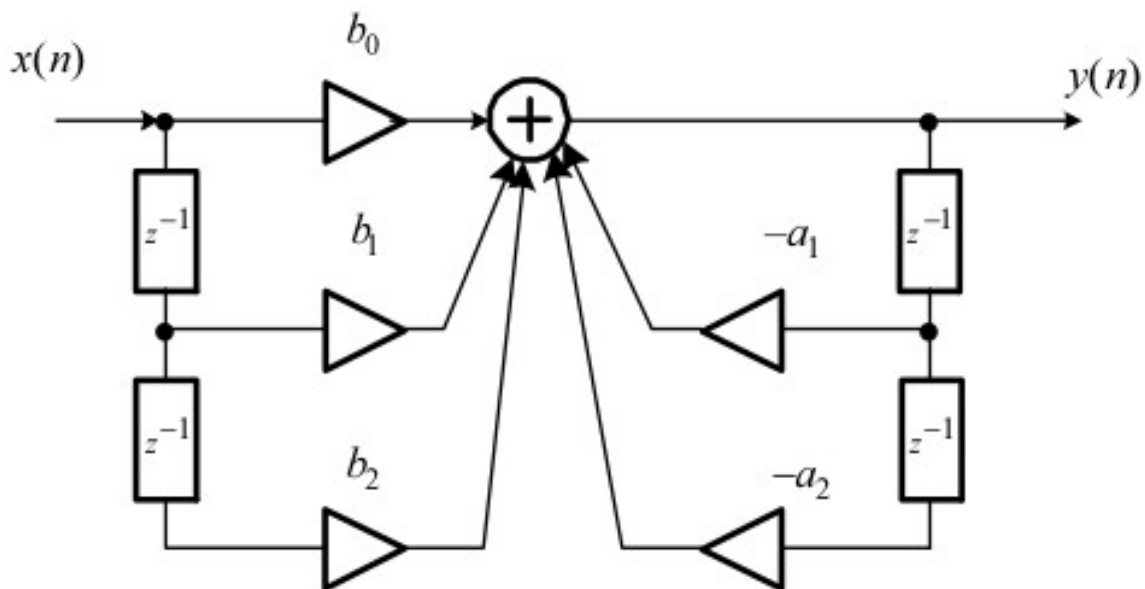


Рисунок 8 – Прямая структура

## 8.2. Прямая транспонированная структура (Direct Form I Transposed)

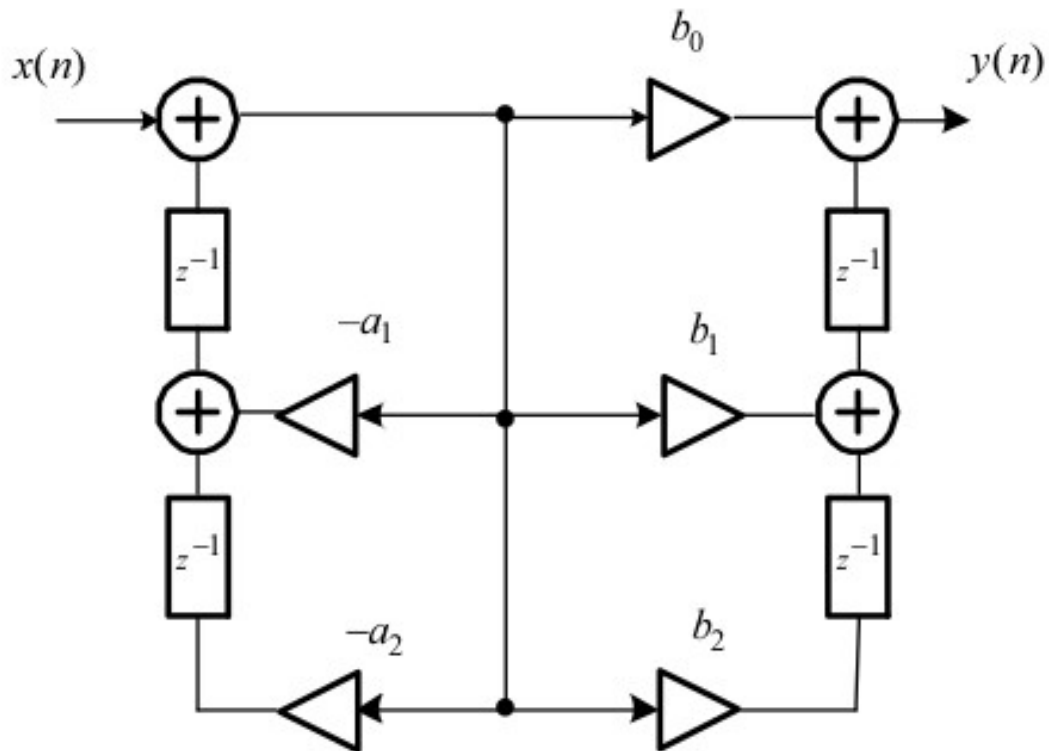


Рисунок 9 – Прямая транспонированная структура

## 8.3. Прямая каноническая структура (Direct Form II)

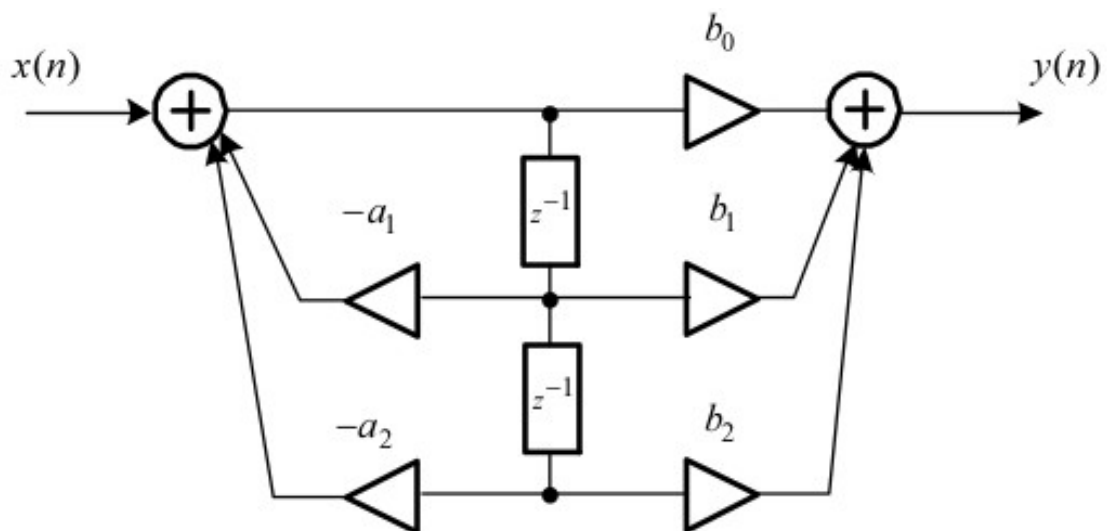


Рисунок 10 – Прямая каноническая структура

#### 8.4. Прямая каноническая транспонированная структура (Direct Form II Transposed)

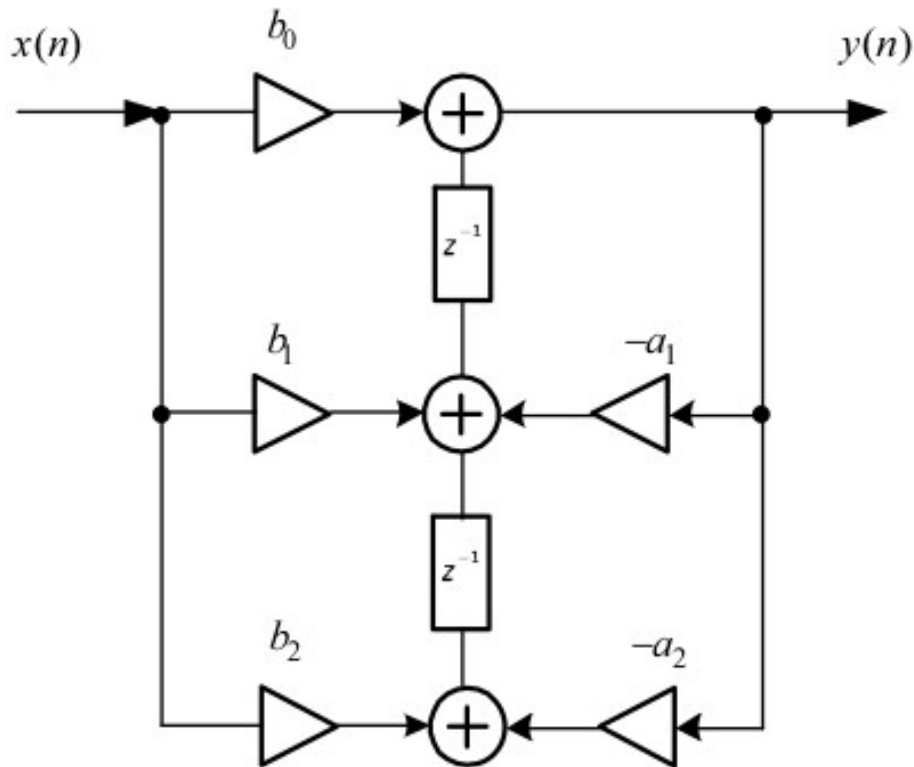


Рисунок 11 – Прямая каноническая транспонированная структура

#### 8.5. Каскадная (последовательная) структура

Для звеньев с передаточной функцией:

$$H(z) = \prod_{k=1}^K H_k(z), \quad (8.3)$$

где  $H_k(z)$ :

$$H_k(z) = \frac{b_{0k} + b_{1k}z^{-1} + b_{2k}z^{-2}}{1 + a_{1k}z^{-1} + a_{2k}z^{-2}}. \quad (8.4)$$

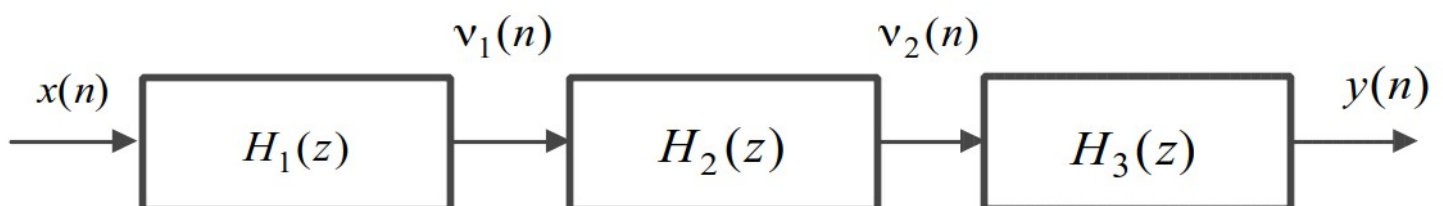


Рисунок 12 – Последовательная структура

Система разностных уравнений:

$$\begin{cases} \nu_1(n) = b_{01}x(n) + b_{11}x(n-1) + b_{21}x(n-2) - a_{11}\nu_1(n-1) - a_{21}\nu_1(n-2); \\ \nu_2(n) = b_{02}\nu_1(n) + b_{12}\nu_1(n-1) + b_{22}\nu_1(n-2) - a_{12}\nu_2(n-1) - a_{22}\nu_2(n-2); \\ y(n) = b_{03}\nu_2(n) + b_{13}\nu_2(n-1) + b_{23}\nu_2(n-2) - a_{13}y(n-1) - a_{23}y(n-2). \end{cases} \quad (8.5)$$

## 8.6. Параллельная структура

Для звеньев с передаточной функцией

$$H(z) = \sum_{k=1}^K H_k(z), \quad (8.6)$$

где  $H_k(z)$ :

$$H_k(z) = \frac{B_{0k} + B_{1k}z^{-1}}{1 + a_{1k}z^{-1} + a_{2k}z^{-2}}. \quad (8.7)$$

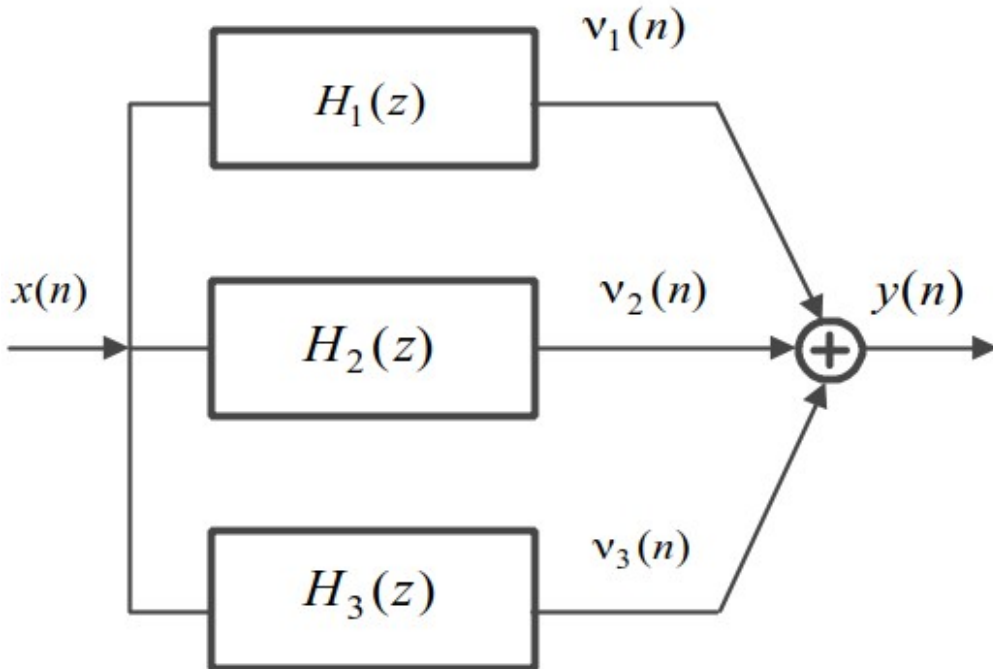


Рисунок 13 – Параллельная структура

Для нерекурсивной (КИХ) ЛДС, передаточная функция:

$$H(z) = \sum_{i=0}^{N-1} b_i z^{-i}, \quad (8.8)$$

разностное уравнение:

$$y(n) = \sum_{i=0}^{N-1} b_i x(n-i). \quad (8.9)$$

Для КИХ ЛДС 2-го порядка:

$$y(n) = b_0 x(n) + b_1 x(n-1) + b_2 x(n-2). \quad (8.10)$$

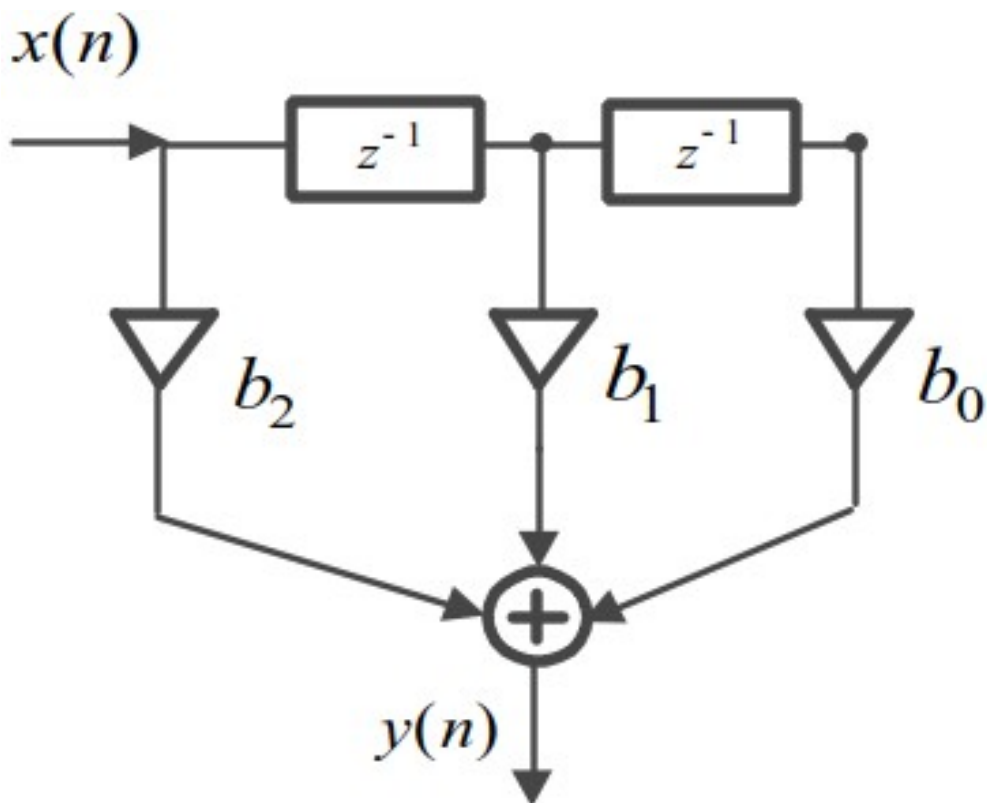


Рисунок 14 – Параллельная структура для КИХ ЛДС

## 9. Цифровые фильтры

**Цифровой фильтр (ЦФ)** — ЛДС, выполняющая преобразование входной последовательности в выходную по алгоритму, описываемому разностным уравнением, структурой, реализованной аппаратно, программно или аппаратно-программно.

### 9.1. Проектирование ЦФ

#### 1. Синтез ЦФ

##### 1.1. Выбор типа ЦФ

КИХ-фильтр (FIR) для КИХ ЛДС, БИХ-фильтр (IIR) для БИХ ЛДС.

##### 1.2. Задание требований к характеристикам ЦФ

Зависят от типа и назначения ЦФ.

По умолчанию подразумевают частотно-избирательные ЦФ — выполняющие селекцию спектральных составляющих.

Для них типы избирательности:

- ФНЧ (фильтр нижних частот);
- ФВЧ (фильтр верхних частот);
- ПФ (полосовой фильтр);
- РФ (режекторный фильтр).

##### 1.3. Выбор метода синтеза

Зависит от типа и дополнительных требований.

##### 1.4. Расчёт передаточной функции ЦФ

##### 1.5. Выбор структуры ЦФ

#### 2. Моделирование структуры ЦФ с учетом эффекта квантования

#### 3. Реализация структуры ЦФ

Способы реализации:

- аппаратная (с использованием ПЛИС, ЦПОС);
- программная (MATLAB, SIMULINK);
- программно-аппаратная.



## 10. Синтез КИХ-фильтров методом окон

### 10.1. КИХ-фильтр

**КИХ-фильтр** описывается передаточной функцией:

$$H(z) = \sum_{i=0}^{N-1} b_i z^{-i} = \sum_{n=0}^{N-1} h(n) z^{-n}. \quad (10.1)$$

**Длина** КИХ-фильтра — число коэффициентов  $N$ , **порядок** — порядок  $R$  передаточной функции, равный  $R = N - 1$ .

Особенности КИХ-фильтров:

- возможность обеспечить строго линейную ФЧХ (ЛФЧХ);
- устойчивость по определению.

Линейная ФЧХ (с точностью до скачков на  $\pi$ , где АХЧ равна нулю) обеспечивается, если для ИХ  $h(n)$  выполняется одно из условий:

- симметрии:  $h(n) = h(N - 1 - n)$ ;
- антисимметрии:  $h(n) = -h(N - 1 - n)$ ,

где ось симметрии/антисимметрии проходит через  $n = R/2$ .

Таблица 1. Типы КИХ-фильтров

Тип	Порядок $R$	ИХ $h(n)$	ЛФЧХ	ЦФ
1	четный	симметричная	$\varphi(\hat{\omega}) = -\frac{\hat{\omega}R}{2}$	ФНЧ, ФВЧ, ПФ, РФ
2	нечетный	симметричная	$\varphi(\hat{\omega}) = -\frac{\hat{\omega}R}{2}$	ФНЧ, ПФ
3	четный	несимметричная	$\varphi(\hat{\omega}) = \frac{\pi}{2} - \frac{\hat{\omega}R}{2}$	ПФ, ЦПГ
4	нечетный	несимметричная	$\varphi(\hat{\omega}) = \frac{\pi}{2} - \frac{\hat{\omega}R}{2}$	ФВЧ, ПФ, ЦПГ, ЦД

## 10.2. Структуры КИХ-фильтров с ЛФЧХ

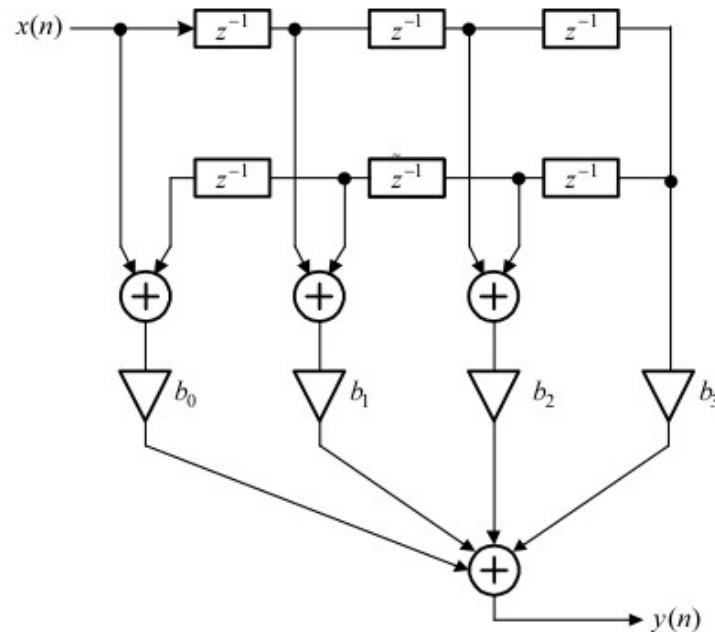


Рисунок 15 – Прямая приведенная с симметричной ИХ для КИХ-фильтра 1-го типа

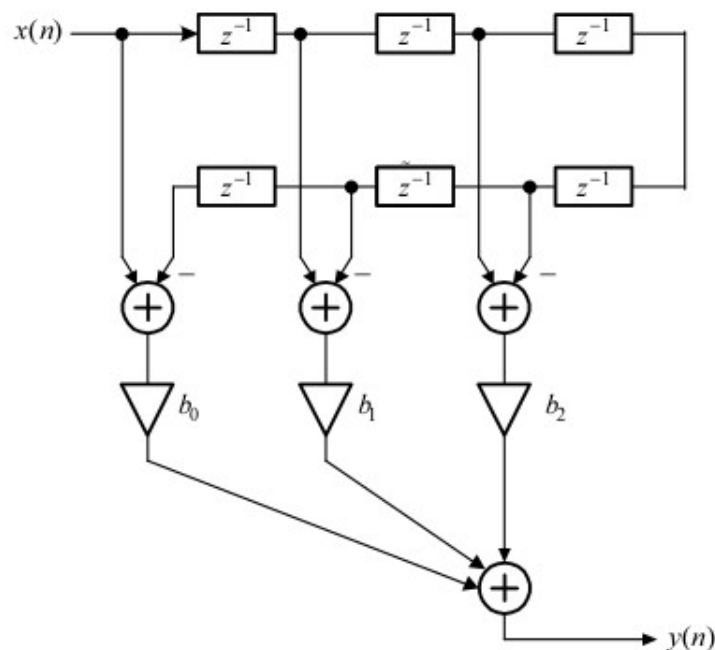


Рисунок 16 – Прямая приведенная с антисимметричной ИХ для КИХ-фильтра 3-го типа

## 10.3. Процедура синтеза КИХ-фильтров методом окон

1. Задание требований к АЧХ.
2. Оценка порядка фильтра  $R$  и выбор окна.

**Окно** — весовая функция  $w(n)$  — вещественная неотрицательная последовательность  $N = R + 1$ , максимальная в центре и монотонно спадающая к границам.

3. Расчёт ИХ идеального фильтра  $h_{\text{и}}(n)$ , выделенной окном Дирихле (прямоугольным).

ИХ рассчитывается по известным аналитическим формулам для типов фильтров. Обязательный параметр — частота разрыва, на которой нормированная АЧХ равна 0.5.

4. Расчёт ИХ реального фильтра с симметричной  $h(n)$  в виде произведения:

$$h(n) = h_{\text{и}}(n)w(n) \quad (10.2)$$

5. Проверка выполнения требований к АЧХ.

Заключается в проверки максимальных по модулю отклонений АЧХ от идеальной АЧХ.

Производится поиск минимального порядка, при котором выполняются требования.

6. Выбор структуры КИХ-фильтра.

## 11. Синтез КИХ-фильтров методом наилучшей равномерной (чебышевской) аппроксимации

См. 10.1 (КИХ-фильтр).

Метод чебышевской аппроксимации позволяет синтезировать **оптимальный КИХ-фильтр** — фильтр наименьшего возможного порядка, удовлетворяющий заданным требованиям к АЧХ.

Коэффициенты оптимального КИХ-фильтра определяются поиском минимум функционала — критерия Чебышева (наилучшего равномерного приближения).

**Расчёт весов:**

- 1 присваивается полосе с наибольшим максимально допустимым отклонением;
- в остальных полосах — рассчитываются как отношение наибольшего максимально допустимого отклонения к максимально допустимому отклонению в данной полосе.

Согласно **теореме Чебышева**, минимум максимальной (по модулю) взвешенной ошибки аппроксимации  $\delta_{\min \max}$  достигается в **точках альтернанса** — частотах, на которых максимальное (по модулю) взвешенное отклонение амплитудной функции от идеальной АЧХ минимально, одинаково и чередуется по знаку.

Таблица 2. Количество точек альтернанса и порядок КИХ-фильтра

Тип	Порядок $R$	ИХ $h(n)$	Число точек альтернанса	Порядок фильтра
1	четный	симметричная	$m = \frac{R}{2} + 2$	$R = 2m - 4$
2	нечетный	симметричная	$m = \frac{R-1}{2} + 2$	$R = 2m - 3$
2	четный	несимметричная	$m = \frac{R}{2} + 1$	$R = 2m - 2$
3	нечетный	несимметричная	$m = \frac{R-1}{2} + 1$	$R = 2m - 3$

Синтез КИХ-фильтра сводится к расчёту его импульсной характеристики.

Шаги процедуры:

1. Задание требований к АЧХ
2. Оценка порядка фильтра  $R$
3. Расчёт ИХ фильтра.

Производится с помощью численного метода — **алгоритма Паркса—Мак-Клиллена**

4. Проверка выполнения требований к АЧХ.

Заключается в сравнении взвешенной ошибки аппроксимации  $\delta_{\min \max}$  с допустимым взвешенным отклонением  $\delta_{\max}$  АЧХ от идеальной АЧХ, равным:

- Для ФНЧ, ФВЧ:

$$\delta_{\max} = \max\{\delta_1, \delta_2\} \quad (11.1)$$

- Для ПФ:

$$\delta_{\max} = \max\{\delta_{21}, \delta_1, \delta_{22}\} \quad (11.2)$$

- Для РФ:

$$\delta_{\max} = \max\{\delta_{11}, \delta_2, \delta_{12}\} \quad (11.3)$$

Производится итеративный поиск минимального порядка, при котором выполняются требования к АЧХ.

5. Выбор структуры КИХ-фильтра

## 12. Синтез БИХ-фильтров

### 12.1. БИХ-фильтр

**БИХ-фильтр** — фильтр с бесконечной импульсной характеристикой.

Передаточная функция:

$$H(z) = \frac{\sum_{i=0}^{N-1} b_i z^{-i}}{1 + \sum_{k=1}^{M-1} a_k z^{-k}} \quad (12.1)$$

и при  $(N - 1) \leq (M - 1)$  имеет порядок, равный  $R = (M - 1)$ .

Особенности:

- **нелинейность ФЧХ**, т.е. наличие фазовых искажений;
- необходимость проверки на устойчивость.

### 12.2. Синтез методом билинейного $z$ -преобразования

Синтез заключается в расчёте передаточной функции. Метод билинейного  $z$ -преобразования основан на использовании аналогового фильтра-прототипа (АФП):

1. Задание требований к характеристике затухания АЧХ БИХ-фильтра
2. Формирование требования к АЧХ АФП

Связь граничных частот АФП  $\Omega$  с граничными частотами БИХ-фильтра:

$$\Omega = \frac{2}{t} \tan \frac{\omega T}{2}, \quad (12.2)$$

которая в шкале частот в герцах соответствует зависимости между частотами АФП  $F$  и БИХ-фильтра  $f$ :

$$F = \frac{f_d}{\pi} \tan \frac{\pi f}{f_d}, \quad (12.3)$$

3. Выбор типа БИХ-фильтра.
4. Расчёт передаточной функции  $H_a(p)$
5. Преобразование передаточной функции АФП  $H_a(p)$  в передаточную функцию БИХ-

Таблица 3. Типы БИХ-фильтров

Название	АЧХ в ПП	АЧХ в ПЗ
Баттерворта	максимально плоская	монотонная
Чебышева I рода	равноволновая	монотонная
Чебышева II рода	максимально плоская	равноволновая
Золотарева-Кауэра	равноволновая	равноволновая

фильтра на основе формулы билинейного  $z$ -преобразования:

$$p = \frac{2}{T} \cdot \frac{1 - z^{-1}}{1 + z^{-1}}. \quad (12.4)$$

## 6. Выбор структуры БИХ-фильтра

## 13. Описание дискретных сигналов в $z$ -области

См. 7 ( $z$ -преобразование и его свойства)

### 13.1. Некоторые сигналы в $z$ -области

$$u_0(n) = \begin{cases} 1, & n = 0 \\ 0, & n \neq 0 \end{cases} \quad (13.1)$$

— дискретный единичный импульс,

$$u_1(n) = \begin{cases} 1, & n \geq 0 \\ 0, & n < 0 \end{cases} \quad (13.2)$$

— дискретный единичный скачок (функция Хевисайда).

Таблица 4. Некоторые  $z$ -преобразования

Сигнал $x(n)$	$z$ -изображение
$u_0(n)$	1
$u_0(n - n_0)$	$\frac{1}{z^{n_0}}$
$u_1(n)$	$\frac{z}{z - 1}$
$(\pm a)^n u_1(n)$	$\frac{1}{1 \mp az^{-1}}$
$\cos(\omega_0 n) u_1(n)$	$\frac{1 - z^{-1} \cos(\omega_0)}{1 - 2z^{-1} \cos(\omega_0) + z^{-2}}$



## 14. Описание дискретных сигналов в частотной области

Фурье-изображение дискретного сигнала

$$X(e^{j\omega T}) = \sum_{n=0}^{\infty} x(nT)e^{-j\omega Tn}, \quad (14.1)$$

где  $T$  — период дискретизации,  $X(e^{j\omega T})$  — спектральная плотность дискретного сигнала  $x(n)$ .

Спектральная плоскость в шкале дискретного нормированного времени и нормированной частоты:

$$X(e^{j\hat{\omega}}) = \sum_{n=0}^{\infty} x(n)e^{-j\hat{\omega}n}. \quad (14.2)$$

Связь  $z$ -изображения со спектральной плотностью:

$$X(e^{j\omega T}) = X(Z)|_{z=e^{j\omega T}} \quad (14.3)$$

Вещественная и мнимая части спектральной последовательности — **вещественный и мнимый спектр последовательности**.

Модуль спектральной плотности — **амплитудный спектр последовательности** Аргумент спектральной плотности — **фазовый спектр последовательности**

### 14.1. Свойства спектральной плотности

1. Непрерывность
2. Период равен частоте дискретизации
3. Линейность:

$$\begin{aligned} x(n) &= a_1x_1(n) + a_2x_2(n) + \dots \\ X(e^{j\hat{\omega}}) &= a_1X_1(e^{j\hat{\omega}}) + a_2X_2(e^{j\hat{\omega}}) + \dots \end{aligned} \quad (14.4)$$

4. Модуль спектральной функции — четная функция частоты; аргумент спектральной функции — нечетная функция частоты

## 5. Равенство Парсеваля

$$\sum_{n=0}^{\infty} |x(nT)|^2 = \frac{T}{2\pi} \int_{-\frac{\pi}{T}}^{\frac{\pi}{T}} |X(e^{j\omega T})|^2 d\omega \quad (14.5)$$

## 6. Сдвиг спектральной плотности в частотной области:

$$x(nT) \Leftrightarrow X(e^{j\omega T}), \quad (14.6)$$

$$x(nT)e^{j\omega_0 nT} \Leftrightarrow X(e^{j(\omega-\omega_0)T}) - \text{сдвиг вправо}, \quad (14.7)$$

$$x(nT)e^{-j\omega_0 nT} \Leftrightarrow X(e^{j(\omega+\omega_0)T}) - \text{сдвиг влево}. \quad (14.8)$$

## 7. Сдвиг дискретного сигнала во временной области

$$x(nT) \Leftrightarrow X(e^{j\omega T}), \quad (14.9)$$

$$x((n-m)T) \Leftrightarrow X(e^{j\omega T})e^{-j\omega mT}. \quad (14.10)$$

## 15. Дискретное преобразование Фурье (ДПФ)

Прямое ДПФ:

$$X(k) = \sum_{n=0}^{N-1} x(n) W_N^{nk}, k = 0, 1, \dots, N-1, \quad (15.1)$$

обратное ДПФ:

$$x(n) = \frac{1}{N} \sum_{k=0}^{N-1} X(k) W_N^{-nk}, n = 0, 1, \dots, N-1, \quad (15.2)$$

где:

- $x(n)$  — исходный сигнал,  $N$ -точечная последовательность;
- $X(k)$  — результат вычисления,  $N$ -точечное ДПФ;
- $N$  — длина последовательности;
- $n = nT/T$  — дискретное нормированное время (номер отсчёта);
- $T$  — период дискретизации;
- $k$  — дискретная нормированная частота;
- $k = k\Delta\omega/\Delta\omega$ ;  $\Delta\omega$  — период дискретизации (разрешение) по частоте.

$$\Delta\omega = \frac{\omega_d}{N} = \frac{2\pi}{NT}$$

$W_N^{nk} = e^{-j\frac{2\pi}{N}nk}$  — поворачивающий множитель,

$X(k)W_N^{-nk} = X(k)e^{j\frac{2\pi}{N}nk}$  —  $k$ -я дискретная гармоника,

$f = k\frac{f_d}{N}$  — значения абсолютных частот дискретных гармоник.

### 15.1. ДПФ периодической последовательности

ДПФ  $X(k)$  представляет собой её **спектр** с точностью до постоянного множителя  $\frac{1}{N}$ .

Модуль ДПФ — **амплитудный спектр** периодической последовательности, четная функция частоты. Для вещественной последовательности — амплитудный спектр с точностью до постоянного множителя:

$$\begin{cases} \frac{1}{N}, & k = 0; \\ \frac{2}{N}, & k \neq 0. \end{cases} \quad (15.3)$$

Аргумент ДПФ — **фазовый спектр**, нечетная функция частоты.

## 15.2. Эффект растекания спектра

Если хотя бы для одной из дискретных гармоник

$$P_i = \frac{NT}{T_i} = \frac{Nf_i}{f_d} \quad (15.4)$$

оказывается нецелым числом, наблюдается **растекание спектра** — появление в спектральном составе дополнительных составляющих.

Эффект принципиально неустраним, но:

- во многих случаях им можно пренебречь;
- можно использовать оконные функции.

## 16. Методы непараметрического спектрального анализа

**Спектральный анализ** предназначен для оценки частотного состава случайного дискретного сигнала.

**Непараметрические методы** основаны на вычислении оценок СПМ непосредственно по отсчётам спектральной последовательности.

### Спектральная плотность мощности

$$S(\omega) = \lim_{N \rightarrow \infty} \frac{1}{2N+1} \frac{|X(e^{j\omega T})|^2}{f_d}, \quad (16.1)$$

где  $S(\omega)$  — спектральная плотность мощности,  $N$  — длина последовательности,  $f_d$  — частота дискретизации,

$$X(e^{j\omega T}) = \sum_{n=-N}^N x(n)e^{-j\omega Tn}, \quad (16.2)$$

где  $X(e^{j\omega T})$  — спектральная плотность последовательности  $x(n)$ .

### 16.1. Показатели качества оценок СПМ

- **Смещенность/несмещенность**

Для случайного эргодического дискретного сигнала *смещение*  $\beta$ :

$$\beta = \alpha - E[\hat{\alpha}] = E[\alpha - \hat{\alpha}], \quad (16.3)$$

где  $\alpha$  — истинное значение,  $\hat{\alpha}$  — оценка,  $E$  — математическое ожидание.

Оценка — **несмещенная**, если при усреднении по ансамблю с возрастанием числа реализаций  $\beta \rightarrow 0$ .

- **Состоятельность/несостоятельность**

Оценка — **состоятельная**, если при усреднении по ансамблю с возрастанием числа реализаций:

$$E[(\alpha - \hat{\alpha})^2] = D[\hat{\alpha}] + \beta^2 \rightarrow 0. \quad (16.4)$$

- **Добротность**

$$Q = \frac{\hat{S}_{\text{ср}}^2}{\sigma_{\hat{S}}^2}, \quad (16.5)$$

где,  $\hat{S}_{\text{cp}}$  — математическое ожидание,  $\sigma_{\hat{S}}$  — дисперсия,  $Q$  — добротность.  
Несмещенная оценка дисперсии  $\sigma_{\hat{S}}^2$ :

$$\sigma_{\hat{S}}^2 = \frac{1}{N-1} \sum_{k=1}^{N-1} \left( \hat{S}(\omega_k) - \hat{S}_{\text{cp}} \right)^2, \quad (16.6)$$

смещенная:

$$\sigma_{\hat{S}}^2 = \frac{1}{N} \sum_{k=1}^{N-1} \left( \hat{S}(\omega_k) - \hat{S}_{\text{cp}} \right)^2, \quad (16.7)$$

где  $\omega_k$  — значения частот в  $N$  равноотстоящих точках на периоде СПМ,  $\hat{S}_{\text{cp}}$  — среднее значение оценки СПМ:

$$\hat{S}_{\text{cp}} = \frac{1}{N} \sum_{k=0}^{N-1} \hat{S}(\omega_k). \quad (16.8)$$

#### • СКО

Несмещенная оценка СКО:

$$\sigma_{\hat{S}} = \sqrt{\frac{1}{N-1} \sum_{k=0}^{N-1} \left( \hat{S}(\omega_k) - \hat{S}_{\text{cp}} \right)^2}, \quad (16.9)$$

смещенная:

$$\sigma_{\hat{S}} = \sqrt{\frac{1}{N} \sum_{k=0}^{N-1} \left( \hat{S}(\omega_k) - \hat{S}_{\text{cp}} \right)^2}. \quad (16.10)$$

## 16.2. Метод периодограмм

Заключается в вычислении оценки СПМ  $\hat{S}(\omega)$  конечной случайной последовательности длины  $N$  — **периодограммы**:

$$\hat{S}(\omega) = \frac{|X(e^{j\omega T})|^2}{N f_d}. \quad (16.11)$$

Периодограмма — неотрицательная, вещественная, четная функция с периодом  $\omega_d = 2\pi f_d = \frac{2\pi}{T}$ .

Может наблюдаться эффект растекания спектра (см. 15.2 (Эффект растекания спектра), рис. 17).

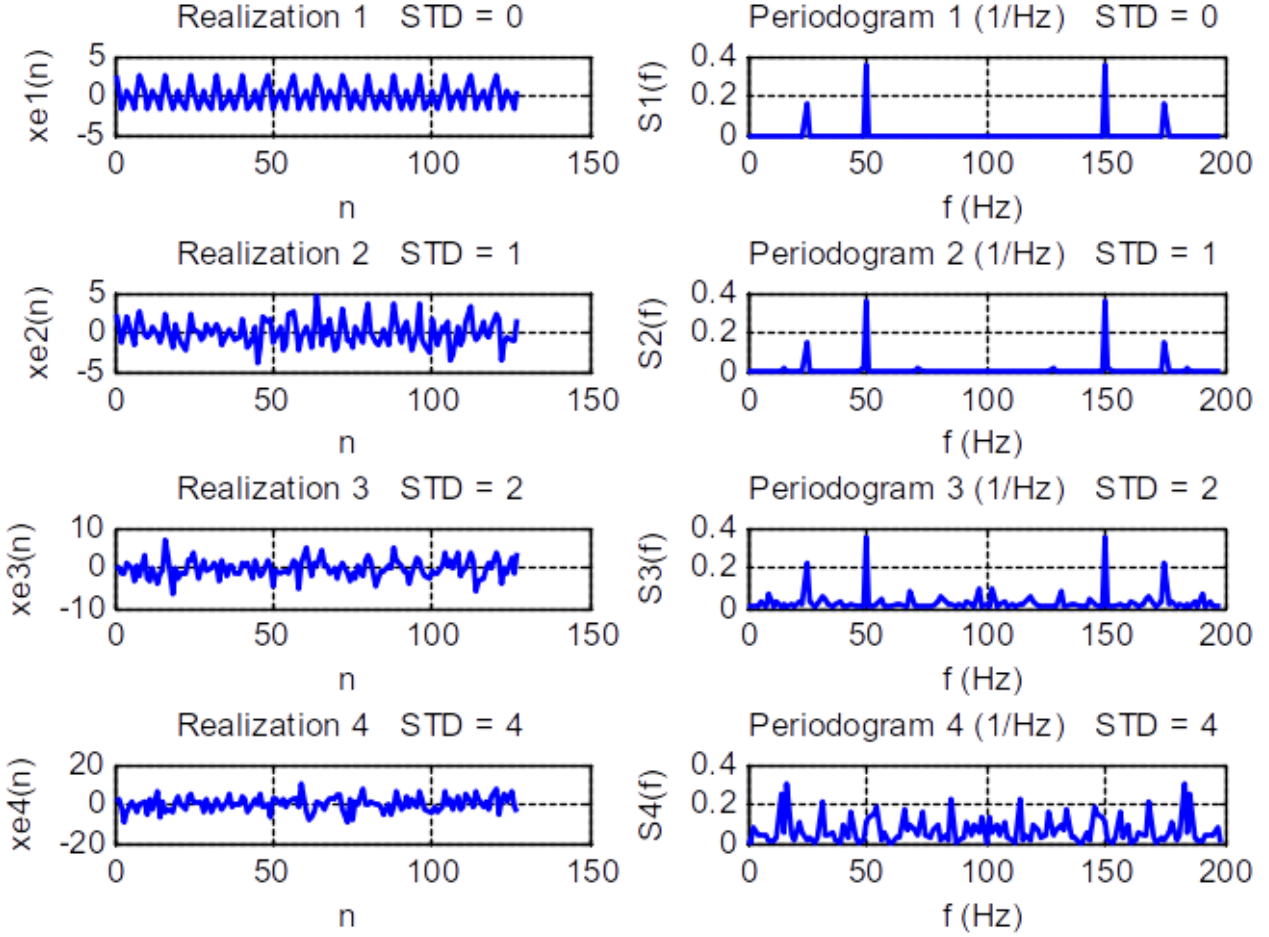


Рисунок 17 – Эффект растекания спектра

### 16.3. Модифицированные методы периодограмм

#### 16.3.1. Метод периодограмм Даниелла

Периодограмма Даниелла вычисляется на основе исходной  $\hat{S}(\omega)$ :

$$\hat{S}_{\text{DANIELL}}(\omega_i) = \frac{1}{2K+1} \sum_{k=i-K}^{i+K} \hat{S}(\omega_k), i = K, K+1, \dots, N-1-K, \quad (16.12)$$

где  $N$  — длина  $\hat{S}(\omega)$ ,  $\omega_k$  — значения частот усреднения периодограммы, их количество для каждого значения  $i$  равно  $2K+1$ .

Сглаживание достигается за счёт использования скользящего среднего.

### 16.3.2. Метод периодограмм Бартлетта

В методе Бартлетта происходит разбиение на неперекрывающиеся фрагменты  $x^{(p)}(n)$  длины  $L$ :

$$x^{(p)}(n) = x(n + pL), n = 0, \dots, L - 1; p = 0, \dots, P - 1, \quad (16.13)$$

где  $p$  — номер фрагмента,  $P = \frac{N}{L}$  — их количество (при необходимости последний фрагмент дополняется 0, чтобы количество фрагментов было целым числом).

Периодограмма фрагмента:

$$\hat{S}_{\text{BARTLETT}}^{(p)}(\omega) = \hat{S}^{(p)}(\omega). \quad (16.14)$$

Периодограмма Бартлетта:

$$\hat{S}_{\text{BARTLETT}}(\omega) = \frac{1}{P} \sum_{p=0}^{P-1} \hat{S}_{\text{BARTLETT}}^{(p)}(\omega) \quad (16.15)$$

Сглаживание достигается за счёт деления последовательности на неперекрывающиеся фрагменты и усреднения периодограмм фрагментов.

### 16.3.3. Метод периодограмм Уэлча

В методе Уэлча последовательность длины  $N$  разбивается на перекрывающиеся фрагменты  $x^{(p)}(n)w(n)$  длины  $L$  со сглаживающим окном  $w(n)$  и величиной перекрытия  $Q < L$ :

$$x^{(p)}(n)w(n) = x(n + pQ)w(n), n = 0, \dots, L - 1; p = 0, \dots, P - 1, \quad (16.16)$$

где  $p$  — номер фрагмента,  $P$  — их количество:

$$P = \frac{N - L}{Q} + 1. \quad (16.17)$$

Периодограммы фрагментов:

$$\hat{S}_{\text{WELCH}}^{(p)}(\omega) = \hat{S}^{(p)}(\omega), p = 0, \dots, P - 1. \quad (16.18)$$



Периодограмма Уэлча:

$$\hat{S}_{\text{WELCH}}(\omega) = \frac{1}{P} \sum_{p=0}^{P-1} \hat{S}_{\text{WELCH}}^{(p)}(\omega). \quad (16.19)$$

Сглаживание достигается за счёт деления последовательности на перекрывающиеся фрагменты и усреднения периодограмм фрагмента.

#### 16.4. Метод Блэкмана-Тьюки

Для случайной последовательности  $x(n)$  длина  $N$  определяется по формуле:

$$\hat{S}_{BT}(\omega) = \frac{1}{f_d} \sum_{m=-(N_1-1)}^{N_1} \hat{R}_x(m) w(m) e^{-j\omega m T}, \quad (16.20)$$

где  $\hat{R}_x$  — оценка АКФ — четная функция длины  $L_1 = 2N_1 - 1$ , центрированные относительно  $m = 0$ ;  $w(m)$  — весовая функция той же длины.

Смещенная оценка АКФ:

$$\hat{R}_x(m) = \frac{1}{N} \sum_{n=0}^{N-|m|-1} x(n)x(n+m), \quad -(N_1 - 1) \leq m \leq (N_1 - 1). \quad (16.21)$$

Несмещенная оценка АКФ:

$$\hat{R}_x(m) = \frac{1}{N - |m|} \sum_{n=0}^{N-|m|-1} x(n)x(n+m), \quad -(N_1 - 1) \leq m \leq (N_1 - 1). \quad (16.22)$$

## 17. Методы параметрического спектрального анализа

**Параметрические методы** оценки СПМ основаны на построении математической модели анализируемого случайного сигнала и определении (оценке) параметров модели, при которых обеспечивается наилучшее приближение моделируемого сигнала.

Основные преимущества:

- Отсутствие осцилляций
- Отсутствия искажений от оконных функций
- Информативность при коротких последователях, лучшее различение близких спектральных составляющих
- Высокое разрешение по частоте

### 17.1. АРСС-модель

Модель авторегрессии скользящего среднего.

Описывается разностным уравнение БИХ-фильтра:

$$y(n) = - \sum_{k=1}^{M-1} a_k y(n-k) + \sum_{i=0}^{N-1} b_i e(n-i), \quad (17.1)$$

где:

- $e(n)$  — входной сигнал БИХ-фильтра;
- $y(n)$  — выходной сигнал;
- $a_k, b_i$  — параметры АРСС-модели;
- $(M-1)$  — порядок АРСС-модели,
- $(N-1)$  — порядок нерекурсивной части БИХ-фильтра,
- $(M-1)$  — порядок рекурсивной части

АРСС-модели соответствует БИХ-фильтр с дробно-рациональной передаточной функцией.

$$H(z) = \frac{1 + \sum_{i=1}^{N-1} b_i z^{-i}}{1 + \sum_{k=1}^{M-1} a_k z^{-k}} = \frac{B(z)}{A(z)}, \quad (17.2)$$

где:

- $a_k|_{k=1}^{M-1}, b_i|_{i=1}^{N-1}$  — параметры АРСС-модели;

- $(N - 1)$  — порядок СС-части;
- $(M - 1)$  — порядок АР-части.

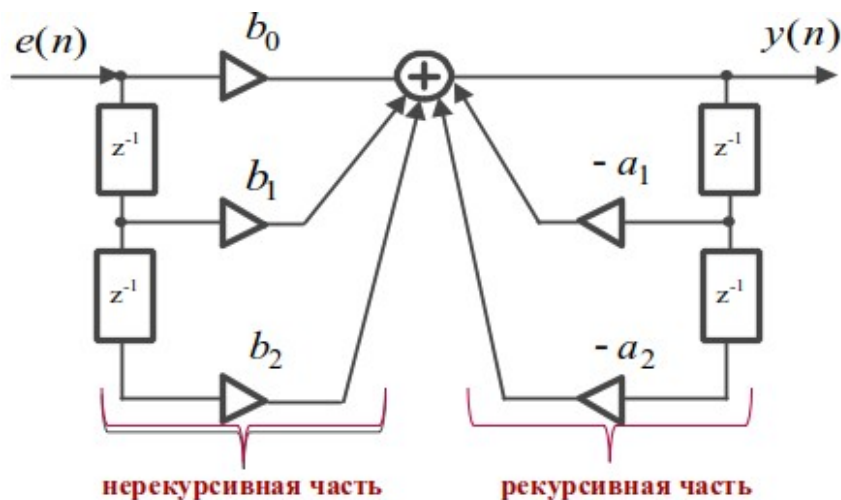


Рисунок 18 – Структурная схема АРСС-модели

## 17.2. АР-модель

РУ:

$$y(n) = - \sum_{k=1}^{M-1} a_k y(n-1), \quad (17.3)$$

соответствующий БИХ-фильтр — **полюсный** (чисто рекурсивный)

$$H(z) = \frac{1}{1 + \sum_{k=1}^{M-1} a_k z^{-k}} = \frac{1}{A(z)}, \quad (17.4)$$

## 17.3. СС-модель

РУ:

$$y(n) = e(n) + \sum_{i=0}^{N-1} b_i e(n-i), \quad (17.5)$$

соответствующий фильтр — КИХ-фильтр:

$$H(z) = 1 + \sum_{i=1}^{N-1} n_i z^{-i}. \quad (17.6)$$

## 18. Адаптивные фильтры и их применения

**Адаптивный фильтр** — система, параметры которой адаптируются (подстраиваются) к сигналу с заранее неопределенной статистической моделью в процессе его обработки.

Наиболее распространены линейные адаптивные фильтры с обратной связью на основе КИХ-фильтров и БИХ-фильтров.

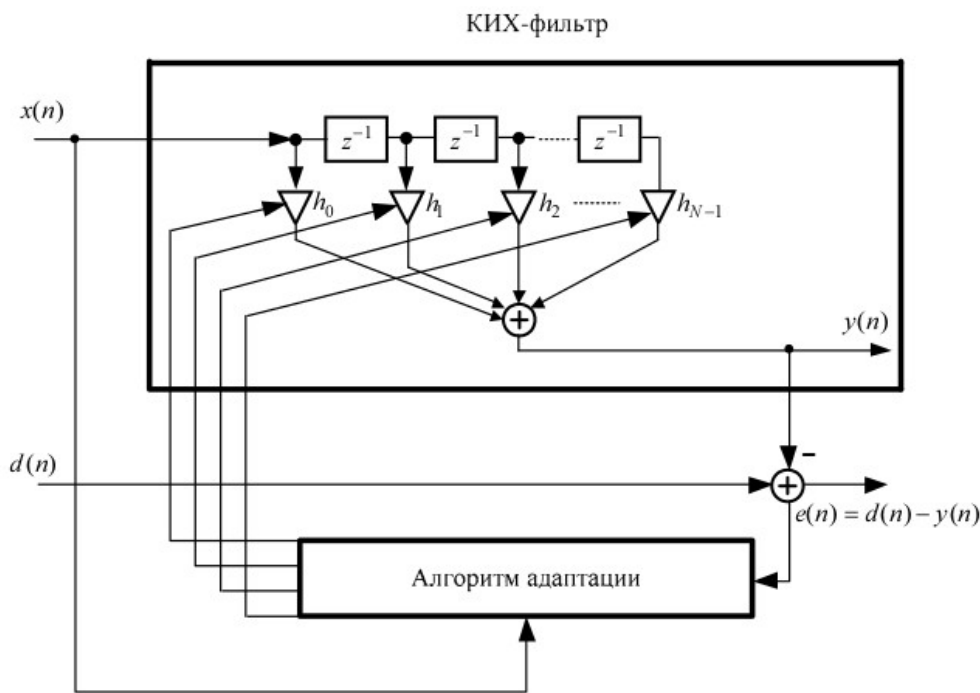


Рисунок 19 – Структурная схема линейного адаптивного фильтра с обратной связью

РУ КИХ-фильтра в составе АФ:

$$y(n) = \sum_{i=0}^{N-1} h_i x(n-i). \quad (18.1)$$

Вычисление сигнала ошибки:

$$e(n) = d(n) - y(n) = d(n) - \sum_{i=0}^{N-1} h_i x(n-i). \quad (18.2)$$

**Линейность АФ** — линейность (аддитивность + однородность) входящего в состав КИХ-фильтра.

РУ КИХ-фильтра в АФ с переменными коэффициентами:

$$y(n) = \sum_{i=0}^{N-1} h_i(n)x_k(n-i) \quad (18.3)$$

### 18.1. Применение адаптивных фильтров

1. оценивание импульсной характеристики неизвестной системы (КИХ- и БИХ-системы);
2. очистка сигнала от шума (шумоподавление);
3. выравнивание частотной характеристики неизвестной системы, например, канала связи (компенсация искажений, вносимых неизвестной системой);
4. оценка параметров линейного предсказания сигнала.